

# 第1篇

## 直流传动控制系统

### 直流电动机概述

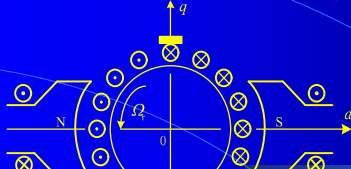


图1 直流电机绕组物理模型

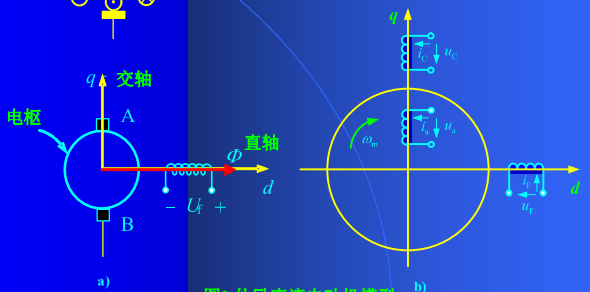


图2 他励直流电动机模型

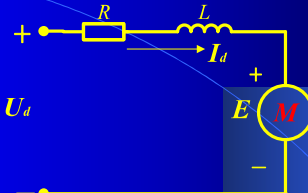


图3 直流电动机等效电路

### 直流电动机稳态时电压平衡方程式

$$U_d = K_e \Phi n + I_d R = C_e n + I_d R$$

### 直流电动机的稳态特性

$$n = \frac{U_d - I_d R}{K_e \Phi}$$

由上式可以看出，有三种方法调节电动机的转速：

- (1) 调节电枢供电电压  $U_d$ ;
- (2) 减弱励磁磁通  $\Phi$ ;
- (3) 改变电枢回路电阻  $R$ 。

$$(1) \text{ 调压调速 } n = \frac{U - IR}{K_e \Phi} = \frac{U}{K_e \Phi} - \frac{IR}{K_e \Phi} = n_0 - \Delta n$$

- 工作条件：

保持励磁  $\Phi = \Phi_N$ ；

保持电阻  $R = R_a$

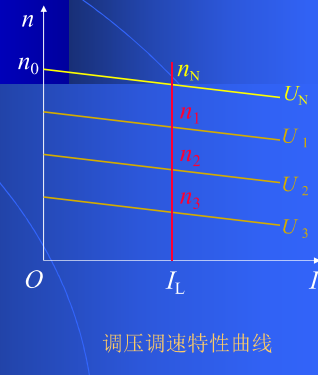
- 调节过程：

改变电压  $U_N \rightarrow U \downarrow$

$U \downarrow \rightarrow n \downarrow, n_0 \downarrow$

- 调速特性：

转速下降，机械特性曲线平行下移。



$$(2) \text{ 变电阻调速 } n = \frac{U - IR}{K_e \Phi} = \frac{U}{K_e \Phi} - \frac{IR}{K_e \Phi} = n_0 - \Delta n$$

- 工作条件：

保持励磁  $\Phi = \Phi_N$ ；

保持电压  $U = U_N$ ；

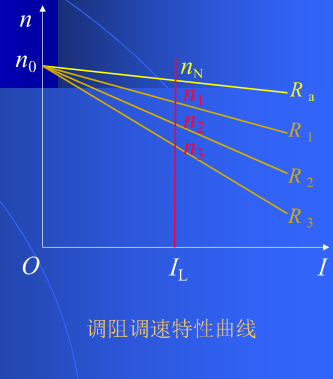
- 调节过程：

增加电阻  $R_a \rightarrow R \uparrow$

$R \uparrow \rightarrow n \downarrow, n_0 \text{ 不变}$

- 调速特性：

转速下降，机械特性曲线变软。



$$(3) \text{ 调磁调速} \quad n = \frac{U - IR}{K_e \Phi} = \frac{U}{K_e \Phi} - \frac{IR}{K_e \Phi} = n_0 - \Delta n$$

- 工作条件:

保持电压  $U = U_N$ ;

保持电阻  $R = R_a$ ;

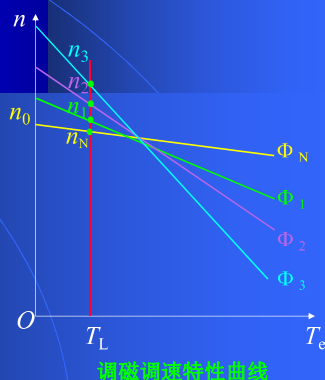
- 调节过程:

减小励磁  $\Phi_N \rightarrow \Phi \downarrow$

$\Phi \downarrow \rightarrow n \uparrow, n_0 \uparrow$

- 调速特性:

转速上升, 机械特性曲线变软。



### ■ 三种调速方法的性能与比较

改变电阻只能有级调速; 减弱磁通虽然能够平滑调速, 但调速范围不大, 往往只是配合调压方案, 在基速(即电机额定转速)以上作小范围的弱磁升速。

因此, 自动控制的直流调速系统往往以调压调速为主。

直流调速系统以调压调速为主!

## 第2章

### 开环控制的直流调速系统

### 内 容 提 要

- 晶闸管整流器-直流电动机系统的工作原理及调速特性
- PWM变换器-直流电动机系统的工作原理及调速特性
- 稳态调速性能指标和开环系统存在的问题

### § 2.1 晶闸管整流器-直流电动机系统的工作原理及调速特性(V-M系统)

#### 2.1.1. 电路组成

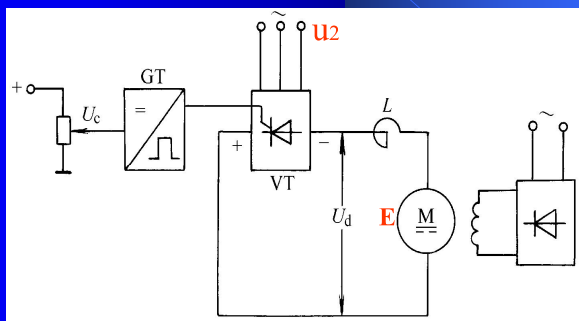
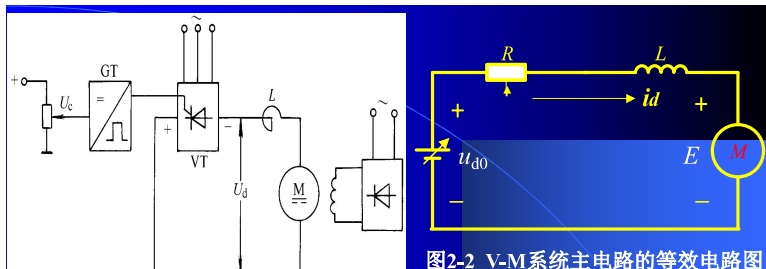


图 2-1 晶闸管可控整流器供电的直流调速系统 (V-M系统)



电压瞬时值表达式为:

$$u_{d0} = E + i_d R + L \frac{di_d}{dt}$$

$$u_{d0} - E = i_d R + L \frac{di_d}{dt}$$

式中  
 $E$ —电动机反电动势(V);

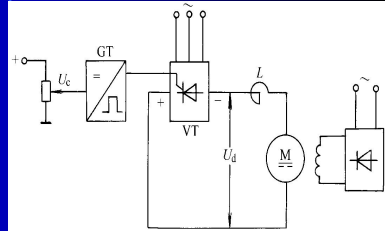
$i_d$ —整流电流瞬时值(A);

$L$ —主电路总电感(H);

$R$ —主电路总电阻( $\Omega$ );

## 2.1.2 V-M系统的控制过程

调节控制电压 $U_c$ ,  
改变触发装置GT输出脉冲的相位 $\alpha$ ,



改变可控整流器VT输出瞬时电压 $u_d$ 的波形, 即改变输出的平均电压 $U_d$ 的数值。

改变电机的转速n

$$n = \frac{U_d - I_d R}{K_e \Phi}$$

## 晶闸管整流输出的电压平均值:

- 对于一般的全控整流电路, 当电流波形连续时, 可用下式表示:

$$U_{d0} = f(\alpha)$$

$$U_{d0} = \frac{m}{\pi} U_m \sin \frac{\pi}{m} \cos \alpha \quad (2-3)$$

式中,  $\alpha$ ——从自然换相点算起的触发脉冲控制角;  
 $U_m$ —— $\alpha=0$ 时的整流电压波形峰值;  
 $m$ ——交流电源一周内的整流电压脉波数。

## 2.1.3 晶闸管整流输出电压

在理想情况下,  $U_d$  和  $U_c$  之间呈线性关系:

$$U_{d0} = K_s U_c \quad (2-1)$$

式中,  $U_d$ ——整流输出平均电压,

$U_c$ ——控制电压,

$K_s$ ——晶闸管整流器放大系数。

## 2.1.4 电枢回路的电流波形



$$T_e = K_e \Phi_N I$$

- 晶闸管导通的条件:

在整流变压器二次侧额定相电压 $u_2$ 的瞬时值大于反电动势 $E$ 时, 晶闸管才可能被触发导通, 才会产生电枢电流。

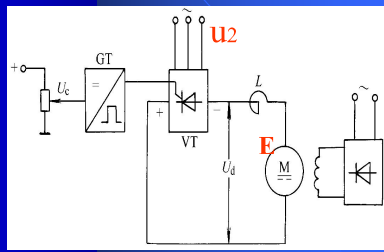
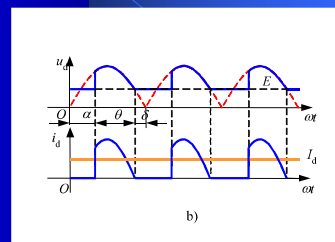
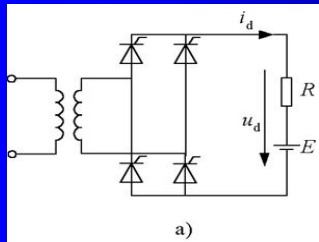


表2-1不同整流电路的整流电压波峰值、脉冲数及平均整流电压\*  $U_2$  是整流变压器二次侧额定相电压的有效值

整流电路	单相全波	三相半波	三相全波
$U_m$	$\sqrt{2}U_2$	$\sqrt{2}U_2$	$\sqrt{6}U_2$
$m$	2	3	6
$U_{d0}$	$0.9U_2 \cos \alpha$	$1.17U_2 \cos \alpha$	$2.34U_2 \cos \alpha$

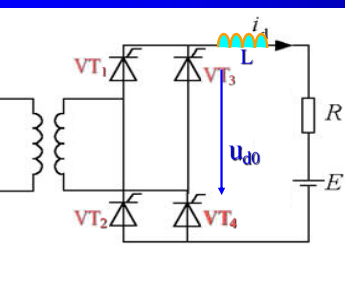
$$U_{d0} = \frac{m}{\pi} U_m \sin \frac{\pi}{m} \cos \alpha$$

电流脉动的原因: 由于电压波形的脉动造成了电流波形的脉动



为了使电枢电流连续：要有续流电感L！

导通后如果 $u_2$ 降低到E以下，靠电感作用可以维持电流 $i_d$ 继续流通。



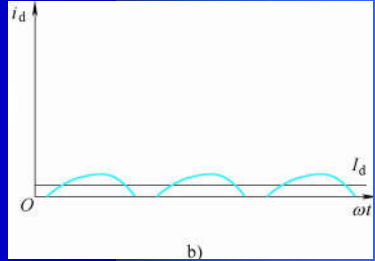
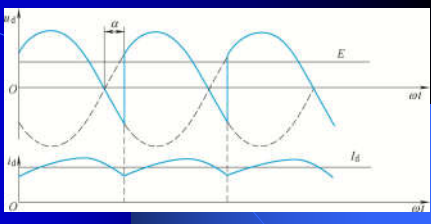
在 $I_d$ 上升阶段，电感储能；

在 $I_d$ 下降阶段，电感中的能量将释放出来维持电流连续。

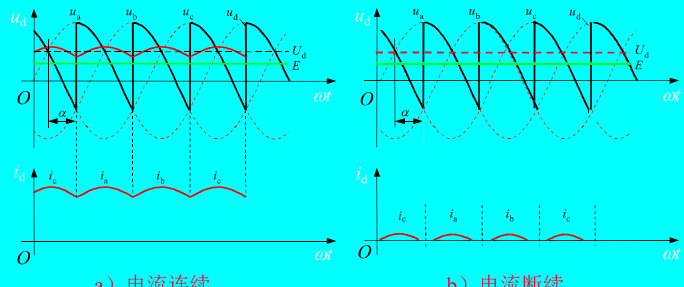
然而即使有续流电感L，

当电动机所带负载电流较小时，电感中的储能较少，

等到 $i_d$ 下降到零时，造成电流波形断续。



### •V-M系统主电路的输出



V-M系统的电流波形

### 抑制电流脉动和断续的措施

① 增加整流电路相数，或采用多重化技术；

② 设置电感量足够大的平波电抗器。

### 2.1.5 V-M系统的机械特性

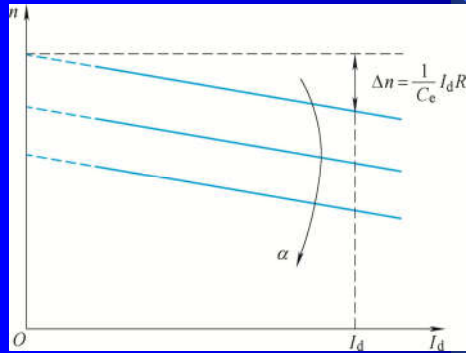
● 当电流波形连续时，V-M系统的机械特性方程式为

$$n = \frac{I}{C_e} (U_{d0} - I_d R) \quad (2-7)$$

式中， $C_e$  ——电动机在额定磁通下的电动势系数

$$C_e = K_e \varphi_N$$

$$n = \frac{U_{d0}}{C_e} - \frac{I_d R}{C_e} = n_0 - \Delta n$$



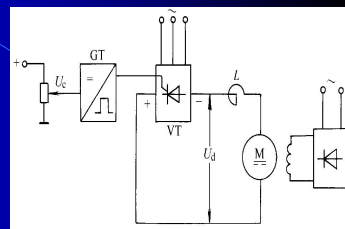
稳态速降

图2-5 电流连续时V-M系统的机械特性

## 2.1.6 晶闸管触发和整流装置的传递函数

稳态关系:

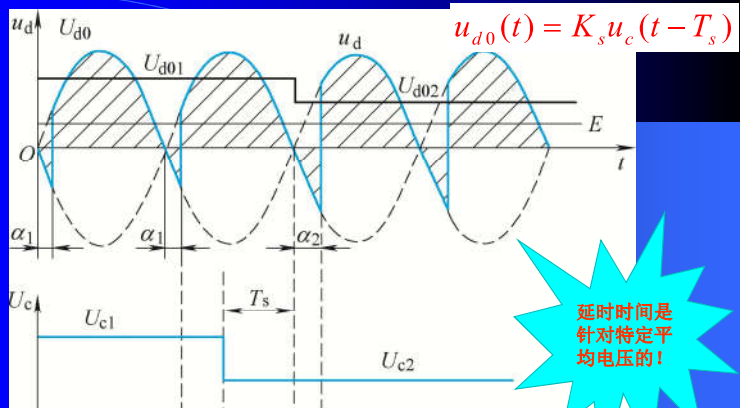
$$U_{d0} = K_s U_c$$



晶闸管整流器的输入输出关系:

$$u_{d0}(t) = K_s u_c(t - T_s)$$

- 滞后作用是由晶闸管整流装置的失控时间引起的。



失控时间是个随机值。

最大失控时间是两个相邻自然换相点之间的时间，它与交流电源频率和晶闸管整流器的类型有关。

## 最大失控时间计算

$$T_{smax} = \frac{1}{mf} = \frac{T}{m} \quad (2-12)$$

式中,  $f$  —— 交流电源频率(Hz),

$m$  —— 一周内整流电压的脉波数。

## 平均失控时间

$$T_s = \frac{1}{2} T_{smax}$$

表2-2 晶闸管整流器的失控时间 ( $f=50\text{Hz}$ )

整流电路形式	最大失控时间 $T_{smax}(\text{ms})$	平均失控时间 $T_s(\text{ms})$
单相半波	20	10
单相桥式(全波)	10	5
三相半波	6.67	3.33
三相桥式	3.33	1.67

## ■ 晶闸管装置的传递函数为:

$$u_{d0}(t) = K_s u_c(t - T_s)$$

$$W_s(s) = \frac{U_{d0}(s)}{U_c(s)} = K_s e^{-T_s s} \quad (2-14)$$

$$\text{传递函数的近似处理} \quad W_s(s) = \frac{U_{d0}(s)}{U_c(s)} = K_s e^{-T_s s}$$

● 按泰勒级数展开, 可得

$$W_s(s) = K_s e^{-T_s s} = \frac{K_s}{e^{-T_s s}} = \frac{K_s}{1 + T_s s + \frac{1}{2!} T_s^2 s^2 + \frac{1}{3!} T_s^3 s^3 + \dots}$$

■ 依据工程近似处理的原则, 可忽略高次项, 把整流装置近似看作一阶惯性环节:

$$W_s(s) \approx \frac{K_s}{1 + T_s s} \quad (2-15)$$

$$U_{d0}(s) \approx \frac{K_s}{1+T_s s} U_c(s)$$

$U_c(s)$

$$K_s e^{-T_s s}$$

$U_{d0}(s)$

电源装置的数学模型

a) 准确的

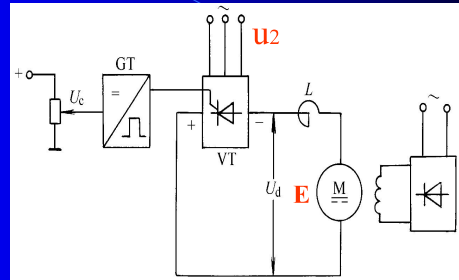
$U_c(s)$

$$\frac{K_s}{T_s s + 1}$$

$U_{d0}(s)$

b) 近似的

图2-9 晶闸管触发与整流装置动态结构图



这种系统电动机能否反转?



### 2.1.7 V-M系统的可逆运行

- 对于需要电流反向的直流电动机可逆调速系统，必须使用两组晶闸管整流装置反并联线路来实现可逆调速。
- 电动机正转时，由正组晶闸管装置VF供电；
- 反转时，由反组晶闸管装置VR供电。

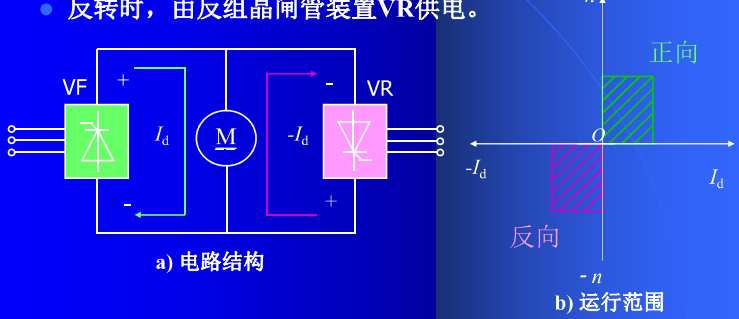
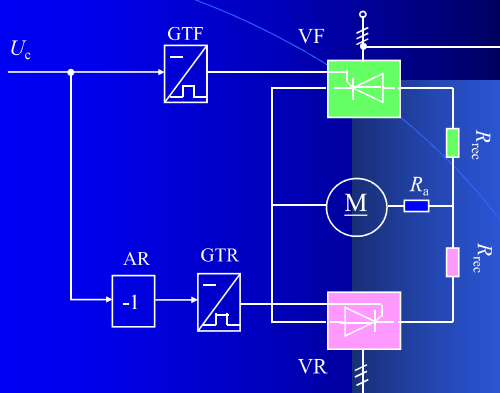


图2-10 两组晶闸管可控整流装置反并联可逆线路



GTF--正组触发装置 GTR--反组触发装置 AR--反号器

### 2.1.8 V-M系统运行中存在的问题

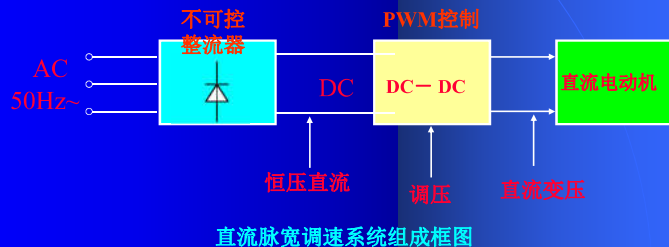
- (1) 晶闸管是单向导电的，给系统的可逆运行造成困难。
- (2) 晶闸管对过电压、过电流和过高的 $du/dt$ 与 $di/dt$ 都十分敏感。
- (3) 半控整流电路谐波与无功功率引起电网电压波形畸变，殃及附近的用电设备，晶闸管的导通角变小时会使得系统的功率因数也随之减少，称之为“电力公害”。

### 内容小结

- 由晶闸管相控整流装置供电组成的V-M系统的工作原理及特性。
- 控制过程如下：
- $U_c \rightarrow$  触发脉冲的相位 $\alpha \rightarrow U_d \rightarrow n$
- 可逆运行困难；
- 半控整流电路谐波与无功功率引起电网电压波形畸变，称之为“电力公害”。

## § 2.2 直流PWM变换器-电动机系统的工作原理及调速特性（直流脉宽调速系统）

- 全控型电力电子器件问世以后，就出现了采用脉冲宽度调制的高频开关控制方式，形成了脉宽调制变换器-直流电动机调速系统，简称直流脉宽调速系统，或直流PWM调速系统。

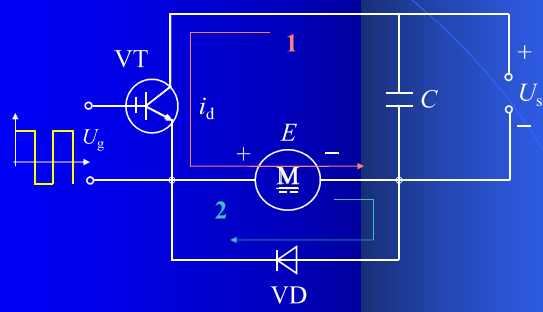


- PWM变换器的作用是：**用脉冲宽度调制的方法，把恒定的直流电源电压调制成频率一定、宽度可变的脉冲电压序列，从而可以改变平均输出电压的大小，以调节电动机转速。
- PWM变换器电路有多种形式，总体上可分为不可逆与可逆两大类。**

### 2.2.1 不可逆直流脉宽调速系统

#### 1 简单直流脉宽调速系统

- 主电路结构



(a) 电路原理图

图2-10 简单的不可逆PWM变换器-直流电动机系统

#### • 工作状态与波形

在一个开关周期内：

- 当 $0 \leq t < t_{on}$ 时， $U_g$ 为正，VT导通，电源电压通过VT加到电动机电枢两端，即 $u_d = U_s$

- 当 $t_{on} \leq t < T$ 时， $U_g$ 为负，VT关断，电枢失去电源，经VD续流，此时 $u_d = 0$

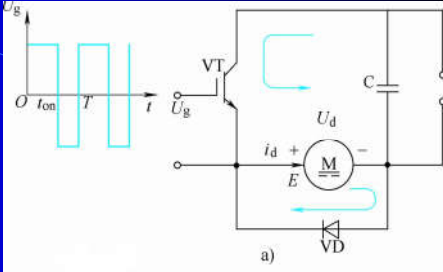


图2-10b 电压和电流波形

在一个开关周期内，电枢两端的平均电压为：

$$U_d = \frac{t_{on}}{T} U_s = \rho U_s \quad (2-17)$$

即：改变占空比  $\rho(0 \leq \rho \leq 1)$ ，即可实现直流电动机的调压调速。

令  $\gamma = \frac{U_d}{U_s}$  为PWM电压系数，则在不可逆PWM变换器中  $\gamma = \rho$  (2-20)

能否实现电动机的  
制动运行



- 不可逆直流脉宽调速系统不允许电流反向，续流二极管VD的作用只是为*i\_d*提供一个续流的通道。如果要实现电动机的制动，必须为其提供反向电流通道。

## 2 有制动电流通路的不可逆直流脉宽调速系统

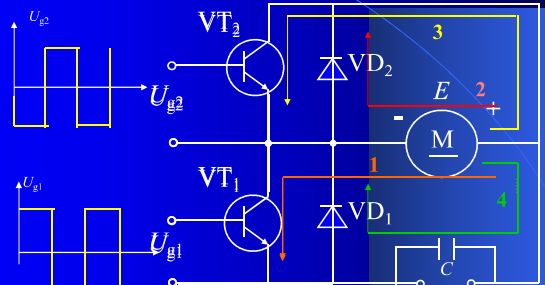


图2-12a 系统原理图

## (2) 制动状态:

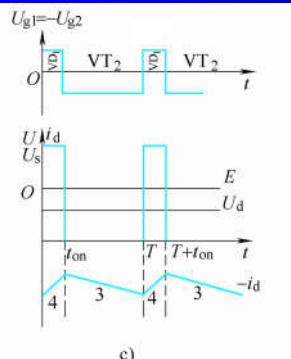


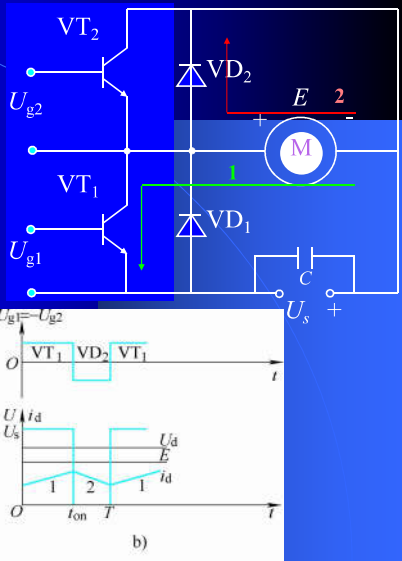
图2-12a 有制动电流通路的不可逆PWM变换器

$U_{g1}$  的正脉冲比负脉冲窄， $i_d$  始终为负。

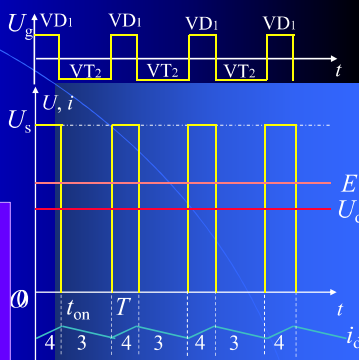
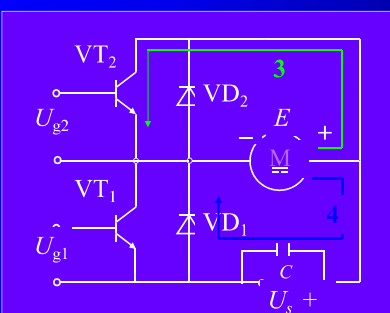
图2-12(c)制动状态的电压、电流波形

## (1) 一般电动状态:

- 一个开关周期内：
- 在  $0 \leq t < t_{on}$  期间， $VT_1$ 导通， $VT_2$ 关断。电流  $i_d$  沿图中的回路 1 流通。
- 在  $t_{on} \leq t < T$  期间， $VT_1$ 关断， $i_d$  沿回路 2 经二极管  $VD_2$  续流。
- $VT_1$ 和  $VD_2$ 交替导通， $VT_2$ 和  $VD_1$ 始终关断。

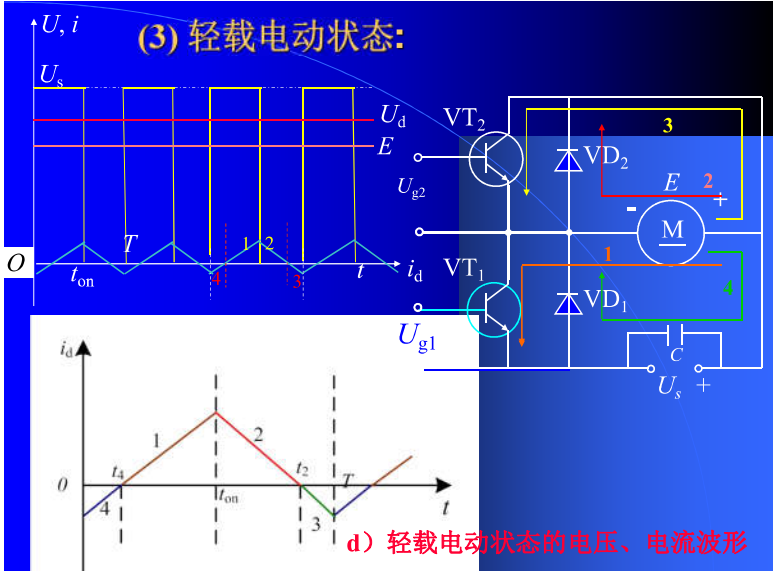


- 因此，在制动状态中， $VT_2$ 和  $VD_1$ 轮流导通，而  $VT_1$ 始终是关断的。



c) 制动状态的电压、电流波形

## (3) 轻载电动状态:



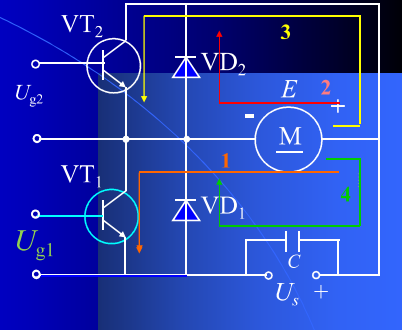
d) 轻载电动状态的电压、电流波形

## 轻载电动状态:

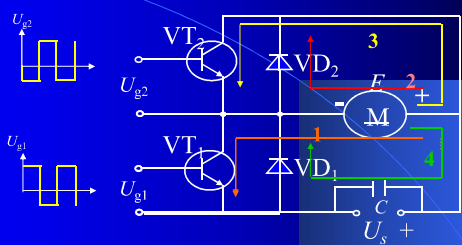
一个周期分成四个阶段：

- 第1阶段， $VT_1$ 导通，电流  $i_d$  沿回路 1 流通；
- 第2阶段， $VD_2$ 续流，电流  $i_d$  沿回路 2 流通；
- 第3阶段， $VT_2$ 导通，电流  $-i_d$  沿回路 3 流通
- 第4阶段， $VD_1$ 续流，电流  $-i_d$  沿回路 4 流通

电动机能否反向运行？



## 小结



- 不可逆是因为平均电压  $U_d$  始终大于零，电流虽然能够反向，而电压和转速仍不能反向。
- 如果要求转速反向，需要再增加VT和VD，构成可逆的直流脉宽调速系统。

## 2.2.2 可逆直流脉宽调速系统

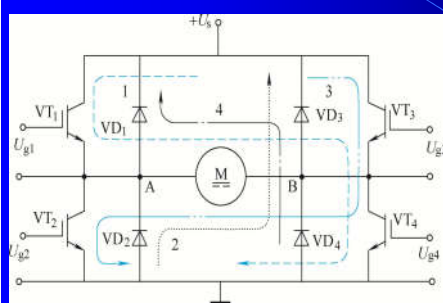
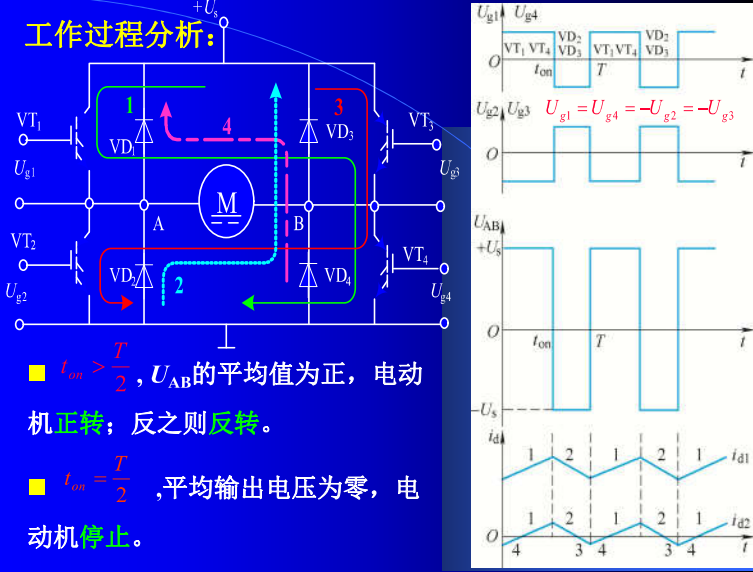


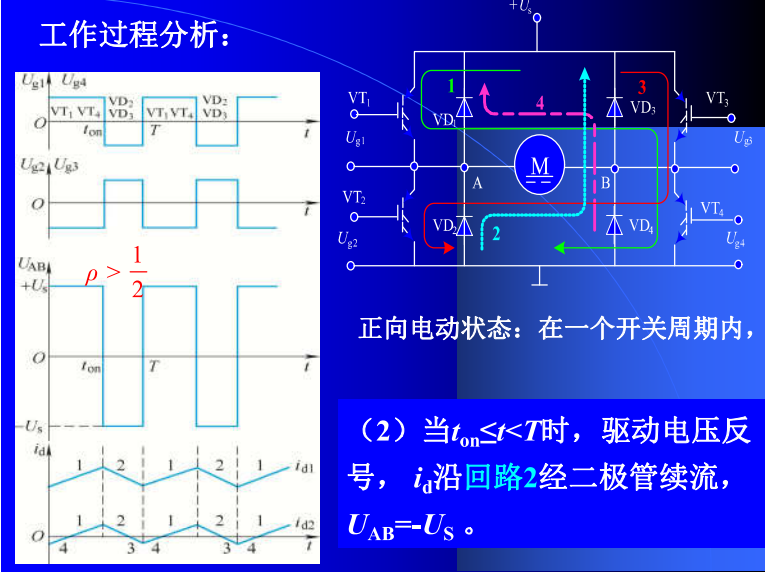
图2-13 桥式可逆PWM变换器电路

图2-12 有刷电动机的不可逆PWM变换器-直流电动机系统

## 工作过程分析：



## 工作过程分析：

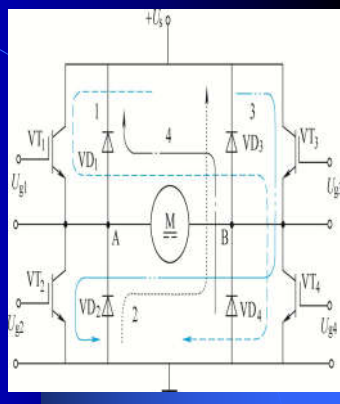


- 双极式控制的桥式可逆PWM变换器有下列优点：

- (1) 电流一定连续；
- (2) 可使电动机在四象限运行；
- (3) 电动机停止时有微振电流，能消除静磨擦死区；
- (4) 低速平稳性好，系统的调速范围大；

## ● 双极式控制方式的不足之处是：

- 在工作过程中，4个开关器件可能都处于开关状态，开关损耗大，而且在切换时可能发生上、下桥臂直通的事故，为了防止直通，在上、下桥臂的驱动脉冲之间，应设置逻辑延时环节。



### 2.2.3 直流脉宽调速系统的机械特性

#### 1) 电压平均值方程

$$\gamma U_s = RI_d + E = RI_d + C_e n \quad (2-25)$$

平均电压  $U_d = \gamma U_s$

平均电流  $I_d$

转速  $n = \frac{E}{C_e}$

$$n = \frac{\gamma U_s}{C_e} - \frac{R}{C_e C_m} T_e = n_0 - \frac{R}{C_e C_m} T_e$$

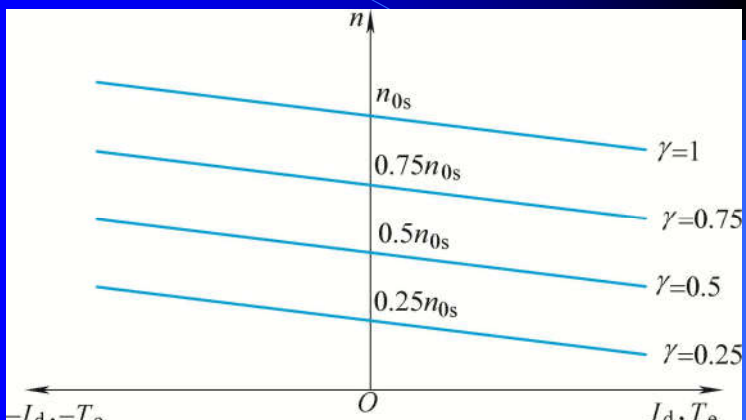


图2-15 直流PWM调速系统(电流连续)的机械特性

#### 2) 机械特性

机械特性方程式为

$$n = \frac{\gamma U_s}{C_e} - \frac{R}{C_e} I_d = n_0 - \frac{R}{C_e} I_d \quad (2-26)$$

用转矩表示为  $T_e = K_m \Phi_N I_d$

$$n = \frac{\gamma U_s}{C_e} - \frac{R}{C_e C_m} T_e = n_0 - \frac{R}{C_e C_m} T_e \quad (2-27)$$

式中,  $C_m = K_m \Phi_N$  ——电动机在额定磁通下的转矩系数;

$$n_0 = \frac{\gamma U_s}{C_e} \quad \text{——理想空载转速, 与电压系数成正比。}$$

### 2.2.4 PWM控制器与变换器的动态数学模型

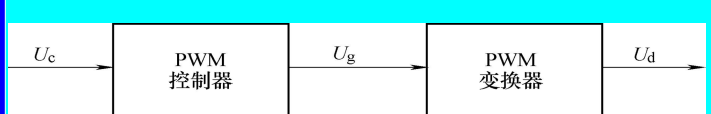


图2-16 PWM控制器与变换器框图

$$\bullet \text{传递函数为 } W_s(s) = \frac{U_d(s)}{U_c(s)} = K_s e^{-T_s s} \quad (2-28)$$

式中:  $K_s$  —— PWM装置的放大系数

$T_s$  —— PWM装置的延迟时间,

$\bullet$  近似的传递函数:

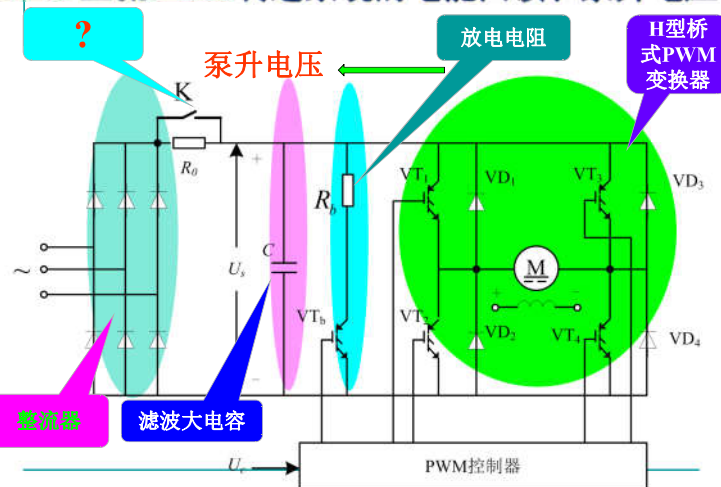
$$W_s(s) \approx \frac{K_s}{T_s s + 1} \quad (2-29)$$

### 2.2.5 直流PWM调速系统的电能回馈和泵升电压

- PWM变换器的直流电源通常由交流电网经不可控的二极管整流器产生，并采用大电容C滤波，以获得恒定的直流电压。
- 当电动机工作在回馈制动状态时，电能不可能通过整流装置送回交流电网，只能向滤波电容充电，形成直流PWM变换器-电动机系统特有的电能回馈问题。

- 对滤波电容充电的结果造成直流侧电压升高，称作“泵升电压”。
- 系统在制动时释放的动能将表现为电容储能的增加，
- 要适当地选择电容的电容量，或采取其它措施，以保护电力电子开关器件不被泵升电压击穿。

## 2.2.5 直流PWM调速系统的电能回馈和泵升电压



与V-M系统相比，PWM调速系统在很多方面有较大的优越性：

- (1) 主电路线路简单，需用的功率器件少；
- (2) 开关频率高，电流容易连续，谐波少，电机损耗及发热都较小；
- (3) 低速性能好，稳速精度高，调速范围宽，可达 $1:10000$ 左右；
- (4) 若与快速响应的电机配合，则系统频带宽，动态响应快，动态抗扰能力强；

- (5) 功率开关器件工作在开关状态，导通损耗小，当开关频率适当时，开关损耗也不大，因而装置效率较高；
- (6) 直流电源采用不可控整流时，电网功率因数比相控整流器高。

直流PWM调速系统的应用日益广泛，特别在中、小容量的高动态性能系统中，已经完全取代了V-M系统。

## 内容回顾

- V-M调速系统
- 直流脉宽调速系统

直流PWM调速系统的应用日益广泛，特别在中、小容量的调速系统中，已经完全取代了V-M系统。

## § 2.3 稳态调速性能指标和开环系统存在的问题

### § 2.3.1 转速控制的要求和稳态调速性能指标

#### ● 1 调速系统转速控制的要求：

- (1) 调速——在一定的最高转速和最低转速范围内调节转速；(调速范围要大)
- (2) 稳速——以一定的精度在所需转速上稳定运行，在各种干扰下不允许有过大的转速波动；(稳速精度高)；
- (3) 加、减速——频繁起、制动的设备要求加、减速尽量快；不宜经受剧烈速度变化的机械则要求起、制动尽量平稳。(加减速要快，起动制动要平稳)

## 2 稳态调速性能指标

### (1) 调速范围

- 生产机械要求电动机提供的最高转速 $n_{max}$ 和最低转速 $n_{min}$ 之比称为调速范围，用字母 $D$ 表示，即
- $$D = \frac{n_{max}}{n_{min}} \quad (2-31)$$

$n_{max}$ 和 $n_{min}$ 是电动机在额定负载时的最高和最低转速，

- 对于少数负载很轻的机械，也可用实际负载时的最高和最低转速。

## (2) 静差率 $s$

- 当系统在某一转速下运行时，负载由理想空载增加到额定值所对应的转速降落 $\Delta n_N$ 与理想空载转速 $n_0$ 之比

$$s = \frac{\Delta n_N}{n_0} \quad (2-32)$$

- 用百分数表示  $s = \frac{\Delta n_N}{n_0} \times 100\% \quad (2-33)$

■ 静差率 $s$ 越小越好， $s$ 越小电机工作越平稳。

当调速时，转速越小，静差率越大。

若最低转速的静差率符合要求，则最大转速时的静差率也符合要求。

例如：在1000r/min时降落10r/min，只占1%；在100r/min时同样降落10r/min，就占10%；如果在只有10r/min时，再降落10r/min，就占100%，这时电动机已经停止转动，转速全部降落完了。

因此，调速范围和静差率这两项指标并不是彼此孤立的，必须同时提才有意义。调速系统的静差率指标应以最低速时所能达到的数值为准。

调速范围为： $D = \frac{n_{\max}}{n_{\min}} = \frac{n_N}{n_{\min}}$

将  $n_{\min} = \frac{(1-s)\Delta n_N}{s}$  代入上面的式子得

$$D = \frac{n_N s}{\Delta n_N (1-s)} \quad (2-34)$$

(2-34) 式表示调压调速系统的调速范围、静差率和额定速降之间所应满足的关系。

## (3) 静差率与机械特性硬度的区别 $s = \frac{\Delta n_N}{n_0} \times 100\%$

静差率和机械特性硬度的区别：

一般调压调速系统在不同转速下的机械特性是互相平行的。对

- 特性 $a$ 和 $b$ 的硬度相同， $a$ 和 $b$ 额定速降相同，
- 特性 $a$ 和 $b$ 的静差率不相同。

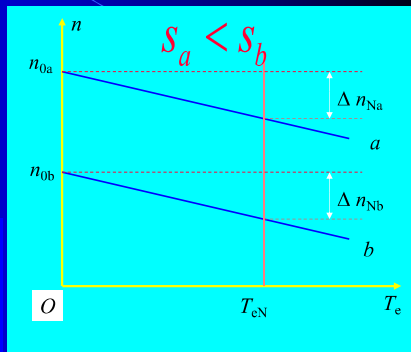


图2-14 不同转速下的静差率

## (4) 调速范围、静差率和额定速降之间的关系

设：电机额定转速 $n_N$ 为最高转速，转速降落为 $\Delta n_N$ ，则按照上面分析的结果，该系统的静差率应该是最低速时的静差率，即

$$s = \frac{\Delta n_N}{n_{\min}} = \frac{\Delta n_N}{n_{\min} + \Delta n_N}$$

于是，最低转速为

$$n_{\min} = \frac{\Delta n_N}{s} - \Delta n_N = \frac{(1-s)\Delta n_N}{s}$$

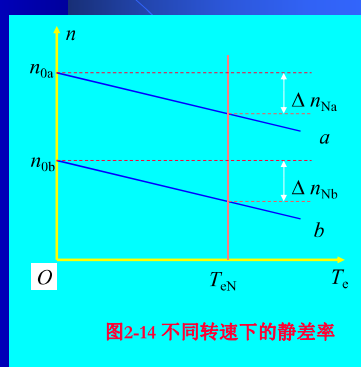


图2-14 不同转速下的静差率

● 结论：  $D = \frac{n_N s}{\Delta n_N (1-s)}$

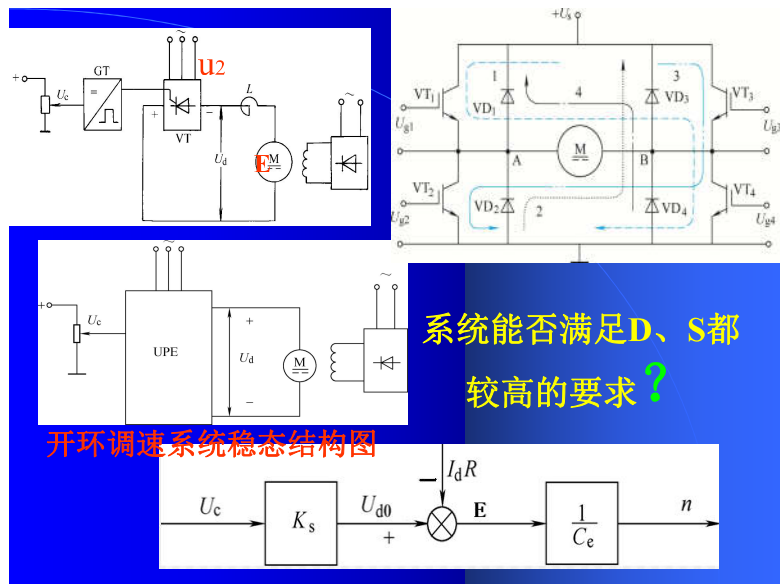
对于同一个调速系统， $\Delta n_N$ 值一定， $n = \frac{rU_s}{C_e} - \frac{R}{C_e} I_s = n_0 - \frac{R}{C_e} I_s$

即机械特性的硬度是一样的，但静差率 $s$ 是不一样的。

- 如果对静差率要求越严，即要求的 $s$ 值越小，系统能够允许的调速范围 $D$ 也越小。
- 一个调速系统的调速范围，是指在最低速时还能满足所需静差率的转速可调范围。

### § 2.3.2 开环直流调速系统及存在的问题

- **开环调速系统:** 即不带反馈控制的直流调速系统。
- 调节控制电压  $U_c$  就可以改变电动机的转速。
- 晶闸管整流器和 PWM 变换器都是可控的直流电源, 用 UPE 来统一表示可控直流电源。



#### 例题2-1

- 某直流调速系统电动机额定转速为  $n_N = 1430 \text{ r/min}$ , 额定速降  $\Delta n_N = 115 \text{ r/min}$ ,
  - 当要求静差率  $s \leq 30\%$  时, 允许多大的调速范围?
  - 如果要求静差率  $s \leq 20\%$ , 则调速范围是多少?
  - 如果希望调速范围达到 10, 所能满足的静差率是多少?

解:

- (1) 在要求  $s \leq 30\%$  时, 允许的调速范围为:

$$D = \frac{n_N s}{\Delta n_N (1-s)} = \frac{1430 \times 0.3}{115 \times (1-0.3)} = 5.3$$

- (2) 若要求  $s \leq 20\%$ , 则允许的调速范围只有:

$$D = \frac{1430 \times 0.2}{115 \times (1-0.2)} = 3.1$$

- (3) 若调速范围达到 10, 则静差率只能是:

$$s = \frac{D \Delta n_N}{n_N + D \Delta n_N} = \frac{10 \times 115}{1430 + 10 \times 115} = 0.446 = 44.6\%$$

- 例题2-2 某龙门刨床工作台拖动采用直流电动机, 其额定数据如下: 60kW、220V、305A、1000r/min, 采用 V-M 系统, 主电路总电阻  $R = 0.18\Omega$ , 电动机电动势系数  $C_e = 0.2V$ 。如果要求调速范围  $D = 20$ , 静差率 5%, 系统的额定速降最多能有多少?
- 采用开环调速系统能否满足这个要求?

解: 当电流连续时, V-M 系统的额定速降为:

$$\Delta n_N = \frac{I_{dn} R}{C_e} = \frac{305 \times 0.18}{0.2} r/\text{min} = 275 r/\text{min}$$

开环系统机械特性连续段在额定转速时的静差率为

$$s_N = \frac{\Delta n_N}{n_N + \Delta n_N} = \frac{275}{1000 + 275} = 0.216 = 21.6\%$$

这已大大超过了 5% 的要求, 更不必谈调到最低速了。

如果要求  $D = 20$ ,  $s \leq 5\%$ , 则由式 (2-34) 可知

$$\Delta n_N = \frac{n_N s}{D(1-s)} \leq \frac{1000 \times 0.05}{20 \times (1-0.05)} r/\text{min} = 2.63 r/\text{min}$$

由上例可以看出, 开环调速系统的额定速降是  $275 \text{ r/min}$ , 而生产工艺的要求却只有  $2.63 \text{ r/min}$ , 相差百倍!

由此可见, 开环调速系统已不能满足要求, 需采用反馈控制的闭环调速系统来解决这个问题。

## P26 2-1. 直流电动机有哪几种调速方法? 各有什么特点?

- 三种调速方法:
- (1) 改变电阻: 变电阻只能有级调速。
- (2) 弱磁调速: 虽然能够平滑调速, 但调速范围不大。
- (3) 调节电枢供电电压  $U_d$ : 可实现大范围平滑调速。

直流调速系统以调压调速为主!

### 习题:

2-3 某一调速系统, 在额定负载下, 最高转速为  $n_{0\max} = 1500 \text{ r/min}$

最低转速为  $n_{0\min} = 150 \text{ r/min}$  带额定负载时的速度降落  $\Delta n_N = 15 \text{ r/min}$

且在不同转速下额定速降不变, 试问系统能够达到的调速范围有多大? 系统允许的静差率是多少?

解: 1) 调速范围

$$n_{\max} = n_{0\max} - \Delta n_N = 1500 - 15 = 1485 \quad n_{\min} = n_{0\min} - \Delta n_N = 150 - 15 = 135$$

$$D = \frac{n_{\max}}{n_{\min}} = 1485 / 135 = 11$$

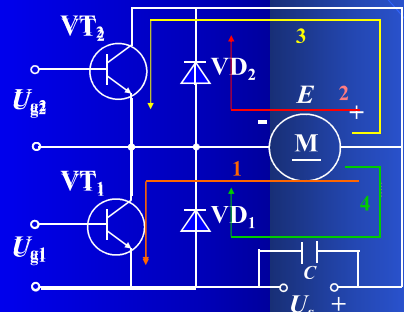
(2) 静差率

$$s = \Delta n_N / n_0 = 15 / 150 = 10\%$$

## 作业题

- 思考题
- 2-1, 2-10
- 习题
- 2-1, 2-3, 2-5

## 2-2 直流 PWM 变换器主电路中反并联二极管有何作用? 如果二极管断路会产生什么后果?



2-5 某龙门刨床工作台采用V-M调速系统。已知直流电动机

$P_N = 60 \text{ kW}, U_N = 220 \text{ V}, I_N = 305 \text{ A}, n_N = 1000 \text{ r/min}$

主电路总电阻  $R = 0.18 \Omega$ ,  $Ce = 0.2 \text{ V} \cdot \text{min/r}$ , 求:

- (1) 当电流连续时, 在额定负载下的转速降落  $\Delta n_N$  为多少?
- (2) 开环系统机械特性连续段在额定转速时的静差率  $S_N$  为多少?
- (3) 若要满足  $D=20, s \leq 5\%$  的要求, 额定负载下的转速降落  $\Delta n_N$  又为多少?

解: (1)  $\Delta n_N = I_N \times R / Ce = 305 \times 0.18 / 0.2 = 274.5 \text{ r/min}$

$$(2) S_N = \Delta n_N / n_0 = 274.5 / (1000 + 274.5) = 21.5\%$$

$$(3) \Delta n = n_N S / [D(1-s)] = 1000 \times 0.05 / [20 \times 0.95] = 2.63 \text{ r/min}$$

2-9 有一V-M调速系统：电动机参数 $P_N=2.2\text{kW}$ ,  $U_N=220\text{V}$ ,  $I_N=12.5\text{A}$ ,  $n_N=1500 \text{ r/min}$ , 电枢电阻 $R_a=1.5\Omega$ , 电枢回路电抗器电阻 $RL=0.8\Omega$ , 整流装置内阻 $R_{rec}=1.0\Omega$ , 触发整流环节的放大倍数 $K_s=35$ 。要求系统满足调速范围 $D=20$ , 静差率 $S\leq 10\%$ 。

(1) 计算开环系统的静态速降 $\Delta n_{op}$ 和调速要求所允许的闭环静态速降 $\Delta n_{cl}$ 。

(2) 采用转速负反馈组成闭环系统, 试画出系统的原理图和静态结构图。

(3) 调整该闭环系统参数, 使当 $U_n^*=15\text{V}$ 时,  $I_d=I_N$ ,  $n=n_N$ , 则转速负反馈系数 $\alpha$ 应该是多少?

(4) 计算放大器所需的放大倍数。

解: (1)

$$n_N = (U_N - I_N \times R_a) / C_e$$

$$\Rightarrow C_e = (220 - 12.5 \times 1.5) / 1500 = 201.25 / 1500 = 0.134 \text{V min/r}$$

$$n = (U_{d0} - I_d \times R_\Sigma) / C_e$$

$$\text{稳态时: } \Delta n_{op} = I_N \times R_\Sigma / C_e = 12.5 \times 3.3 / 0.134 = 307.836 \text{r/min}$$

$$\Delta n_N = n_N s / (D(1-s)) = 1500 \times 10\% / (20 * 90\%) = 8.33 \text{r/min}$$

$$\text{所以, } \Delta n_{cl} = 8.33 \text{r/min}$$

(2) 原理图和静态结构图如教材中图2-18, 2-19

$$(3) K = (\Delta n_{op} / \Delta n_{cl}) - 1 = 307.836 / 8.33 - 1 = 35.955$$

$$n = (K_p K_s U_n^* - I_d R) / (C_e (1+K)) = [K U_n^* / \alpha (1+K)] - [I_d R / (C_e (1+K))]$$

$$1500 = [35.955 \times 15 / \alpha (1 + 35.955)] - [12.5 \times 3.3 / (0.134 (1 + 35.955))]$$

$$\Rightarrow \alpha = 0.0096 \text{V min/r}$$

$$(4) \text{ 可以求得 } K_p = \frac{K * C_e}{K_s * \alpha} = \frac{35.955 * 0.134}{35 * 0.0096} = 14.34$$

(3)/(4)也可以用粗略算法:

$$U_n^* \approx U_n = \alpha n \quad \alpha = \frac{U_n^*}{n} = \frac{15}{1500} = 0.01$$

$$K_p = K C_e / K_s \alpha \quad K_p = 35.955 \times 0.134 / (35 \times 0.01) = 13.76$$